



ارزیابی تنوع ژنتیکی و پراکندگی جغرافیایی برخی اکو-تیپ‌های سیر (*Allium sativum* L.) موجود در ایران با استفاده از نشانگرهای مولکولی ISSR و M13

مسعود فخرفشاری^{۱*} و فرج‌اله شهریاری^۲

تاریخ دریافت: ۱۳۹۰/۰۹/۱۲

تاریخ پذیرش: ۱۳۹۱/۰۲/۱۶

چکیده

سیر (Allium sativum L.) یکی از ارزشمندترین گیاهان صنعتی- دارویی می‌باشد که به دلیل اهمیت بالای آن از ابعاد مختلفی مورد مطالعه قرار گرفته است، اما اطلاعات بسیار اندک و ناقصی راجع به پراکندگی، تنوع و طبقه‌بندی آن در سراسر جهان وجود دارد بطوریکه تنها گروه‌بندی‌های موجود، بر اساس عناوین تجاری، محلی، منطقه‌جغرافیایی رویش و برخی ویژگی‌های فوتیبی می‌باشند. عدمه ترین دلیل آن نیز عقیم بودن و عدم تولید گل در سیر است که طبقه‌بندی مورفو‌لوزیکی آن را مشکل ساخته است. به همین دلیل پژوهش حاضر به عنوان اولین مطالعه کاربرد نشانگر (ISSR) Inter Simple Sequence Repeat – نواحی بین توالی‌های ساده تکراری روى توده‌های بومی ایران و با اهداف مطالعات تاکsonومی در سطوح زیر گونه‌ای، تشخیص تفاوت‌های ژنتیکی بین اکو-تیپ‌های بومی ایران با فنوتیپ‌های متفاوت و همچنین بررسی وجود اختلاط فیزیکی بین اکو-تیپ‌های سیر ایرانی و برخی از سیرهای وارداتی و شناسایی توده‌های تکراری در مجموعه‌های ژرم‌پلاسم ایران صورت پذیرفت. بر اساس نتایج این پژوهش ۲۶ توده جغرافیایی (اکو-تیپ) مورد مطالعه، در ۲۴ شاخه متفاوت قرار گرفتند و با گروه‌بندی آنها در سطح شباته ۰/۶۹ نمونه‌ها در چهار گروه مختلف قرار گرفتند که با محدوده پراکندگی جغرافیایی نمونه‌ها انطباق داشت. گروه اول شامل توده‌های جمع‌آوری شده از شمال و شمال غرب استان همدان؛ گروه دوم شامل اکو-تیپ‌های پراکنده در غرب و جنوب غرب استان همدان، مناطق مرکزی، شرق و جنوب شرق ایران؛ گروه سوم توده جمع‌آوری شده از اهواز و گروه چهارم شامل نمونه‌هایی از شمال و شمال شرقی کشور بود.

واژه‌های کلیدی:

تنوع درون گونه‌ای، چندشکلی ژنتیکی، فیلوژنی، گروه‌بندی مولکولی

شكل هندسی، رنگ، میزان ماده مؤثره، تحمل به سرما و بسیاری صفات مورفو‌لوزیکی دیگر از شرق آسیا تا آمریکای جنوبی گسترش یافته است هرچند عدمه ترین کشورهای تولیدکننده سیر در دنیا به FAO ترتیب چین، هند، کره جنوبی، مصر و روسیه هستند (STATS. 2012). با وجود آنکه بیشتر گیاهان وحشی این جنس در مناطق باستانی ایرانی- تورانی با زمستان‌های نسبتاً سرد و تابستان‌های خشک دیده می‌شوند (Kamenetsky, 2007)، ولی در قرن‌های ۱۸ و ۱۹ میلادی سیر به عنوان گیاهی مدیترانه‌ای شناخته می‌شد، اما اوپیلوف^۱ و کازاکوا^۲ (۱۹۷۱) بر اساس یافتن نمونه‌هایی از سیر وحشی در کوه‌های تین-شان^۳، مرکز تنوع آن را آسیای مرکزی اعلام کردند (Jabbes et al., 2011) و در حال حاضر نیز مناطق مدیترانه‌ای به عنوان دومین مرکز پراکنش سیر در نظر گرفته می‌شود (Lampasona et al., 2003).

مقدمه

جنس *Allium* با بیش از ۶۰۰ گونه مختلف، یکی از بزرگترین جنس‌ها در سلسله گیاهان می‌باشد که بیشتر آنها را گیاهان مهمنه (دارویی، ادویه‌ای و زینتی) تشکیل داده‌اند (Kamenetsky, 2007). سیر زراعی (Allium sativum L.) نیز یکی از مهمترین گیاهان صنعتی- دارویی این جنس می‌باشد که به دلیل اهمیت بالای آن از ابعاد مختلفی مورد مطالعه قرار گرفته است. بعد از پیاز (A. cepa L.), سیر پر مصرف‌ترین گیاه جنس *Allium* با تولید جهانی ۲۲ میلیون تن در سال می‌باشد که میزان تولید و مصرف آن روندی به شدت افزایشی داشته است؛ به طوریکه طی ۲۰ سال اخیر (۱۹۹۰-۲۰۱۰) میزان تولید آن به چهار برابر افزایش یافته است (FAO STATS, 2012). در حال حاضر کشت و تولید سیر با تنوع بسیار زیاد از نظر

^۱ و ^۲- به ترتیب دانشجوی دکتری و دانشیار گروه بیوتکنولوژی و بهنژادی گیاهی، دانشکده کشاورزی دانشگاه فردوسی مشهد
^۳- نویسنده مسئول: (Email: Fakhrfeshani.m@gmail.com)

جغرافیایی رویش و برخی ویژگی‌های فنوتیپی می‌باشد (Kamenetsky, 2007; Camargo et al., 2010; Son et al., 2010). برای مثال، بر اساس ساقه گل دهنده^۱، دو دسته طبقه‌بندی در سیر وجود دارد، در دسته اول سیر به سه واریته تقسیم می‌شود؛ *A. sativum* var. *sativum* (بدون ساقه گل دهنده)، *A. sativum* var. *ophioscorodon* (با ساقه گل دهنده خمیده) و *A. sativum* var. *scordoprasum* (با ساقه گل دهنده ایستاده) و در دسته دوم که توسط گیاه‌شناس روسی، کراسنوف^۲ ارائه شده است سیرهای دارای ساقه گل دهنده به عنوان واریته *A. sativum* var. *sagittatum* Kuz. و سیرهای فاقد آن به عنوان واریته *A. sativum* var. *vulgarae* Kuz. معرفی می‌شوند. هرچند که طبقه‌بندی مرسوم آن از نظر زراعی به دو صورت نرم ساقه^۳ و سخت ساقه^۴ است، اما با توجه به اینکه فنوتیپ سیر، حتی بوجود آمدن ساقه گل دهنده در آن از شرایط محیطی تأثیر پذیر است، تعیین اینکه تفاوت‌های مشاهده شده بین نمونه‌ها تفاوت‌های ژنتیکی است یا محیطی و یا برهم‌کنش بین آن دو، قابل تشخیص نبوده و قابلیت اعتماد اینگونه طبقه‌بندی‌ها را کاهش می‌دهد (Kamenetsky, 2007).

استفاده از نشانگرهای مولکولی و مفهوم چندشکلی در مطالعات سیستماتیک به منظور تعیین روابط بین موجودات، پراکندگی جغرافیایی، مطالعات گونه‌زایی، راشن ژنتیکی، تنوع ژنتیکی و تفسیر ساختار جمعیت‌ها در دهه‌های اخیر در بسیاری از علوم زیستی همچون ژنتیک، اکولوژی، جانورشناسی و میکروبیولوژی بسیار مورد توجه قرار گرفته است (Witono & Kondo, 2006; Nagy et al., 2012)، زیرا صحت و دقت اطلاعات شجره‌ای می‌تواند نقش بسزایی در پیشبرد موفق پژوهش‌های بوم‌شناسی، تهیه، حفاظت و نگهداری از بانک‌های ژنتیکی و برنامه‌های اصلاحی داشته باشد؛ به طوریکه تخمين زده می‌شود ۱۰ درصد خطای طبقه‌بندی شجره‌ای می‌تواند پیشرفت ژنتیکی یک برنامه اصلاحی را سه تا چهار درصد کاهش دهد (Hashemi et al., 2012). گروه مهمی از نشانگرهای تشخیصی که قادر به تفکیک گونه‌های هم نیا از یکدیگر هستند را می‌توان در میان توالی‌های تکراری ژنوم‌ها که به ریز ماهواره^۵ و ماهوارک^۶ موسوم هستند پیدا کرد (Guenaoui et al., 2012) از بین نشانگرهای مرسوم RAPD^۷ و ISSR^۸ به دلیل پراکندگی یکنواخت در کل ژنوم و عمومیت داشتن بین موجودات مختلف پر کاربرد ترین نشانگرها می‌باشند (.

5- Scape

6- Nikolai Ivanovich Kuznetsov, 1864-1932

7- Softneck

8- Hardneck

9- Microsatellites

10- Minisatellites

11- Random Amplification of Polymorphic DNA

FAO، آسیا با تولید بیش از ۸۸ درصد از سیر جهان در این زمینه پیش‌تاز می‌باشد و ایران نیز به عنوان یکی از قطب‌های تولید سیر در غرب آسیا با سطح زیر کشت ۷۲۰۰ هکتار و تولید ۴۰۰۰ تن در سال، ۳۷ درصد از تولیدات این منطقه را پوشش می‌دهد (FAO, 2012). به دلیل اهمیت تجاری- اقتصادی و دارویی- صنعتی سیر، علاقه به افزایش تولید، عملکرد و توسعه واریته‌های جدید به سرعت در حال افزایش است (Cunha et al., 2012)، اما اطلاعات بسیار اندک و ناقصی راجع به پراکندگی، تنوع و طبقه‌بندی آن وجود دارد و این نقص نه تنها راجع به ایران بلکه در گزارش‌هایی از سراسر جهان به آن اشاراتی شده است (Lampasona et al., 2003; Kamenetsky, 2007; Son et al., 2010; Jabbes et al., 2011; Lampasona et al., 2012) که یکی از عمدۀ ترین دلایل آن را می‌توان ساختار گیاه‌شناسی سیر دانست؛ زیرا پایه طبقه‌بندی‌های جزئی (زیر گونه و...) بر اساس ویژگی ریخت‌شناسی^۹ گل و اندام زایشی گیاهان صورت می‌گیرد (Lampasona et al., 2003)، در حالیکه سیر زراعی (Allium L.) (Kamenetsky, 2007) گیاهی کاملاً عقیم می‌باشد (Lampasona et al., 2003; Kamenetsky, 2007; Jabbes et al., 2011; Son et al., 2010; Lampasona et al., 2012) کل دنه‌های تولید نمی‌کند و یا اینکه در صورت بوجود آمدن ساقه، کل آذین انتهایی آن با حالتی غیر عادی، فاقد اندام‌های زایشی همچون مادگی، پرچم، خامه و... بوده و تنها شامل سیرچه‌هایی هوایی^{۱۰} می‌باشد و این امر نه تنها طبقه‌بندی مورفولوژیکی سیر را مشکل ساخته است (Lampasona et al., 2003; Kamenetsky, 2007)، بلکه تنها راه تکثیر آن را نیز به روش رویشی و تنها راه رخداد تنوع در آن را به جهش‌های تصادفی، القایی و تنوع سوماکلونال محدود کرده بطوريکه ارقام زراعی^{۱۱} جدید آن نیز تنها از طریق انتخاب از بین تنوع موجود و انتقال آنها به مناطق جدید معرفی می‌شوند (Lampasona et al., 2012). تاکنون بررسی‌های متعددی برای یافتن دلایل عقیمی سیر صورت گرفته است که همگی آنها بر وجود نقص‌های ژنتیکی- فیزیولوژیکی و حضور دائمی گروهی از فاکتورهای جابجاشونده^{۱۲} در ژنوم سیر زراعی اتفاق نظر دارند (Son et al., 2010) در برخی ارقام وحشی سیر، نمونه‌های بارور مشاهده شده است (Kamenetsky, 2007)، اما نظر به اینکه محصول تجاری ارقام عقیم بسیار بیشتر از نمونه‌های بارور است، این ارقام توسط کشاورزان انتخاب شده و توسعه یافته‌اند؛ به طوریکه در حال حاضر گزارشی مبنی بر وجود سیر زراعی بارور وجود ندارد. به همین دلایل تنها گروه‌بندی‌های موجود بر اساس عناوین تجاری، محلی، منطقه

1- Morphology

2- Bulbils

3- Cultivar

4- Transposon Elements

کاربرد این نشانگر بر روی توده‌های بومی ایران و با اهداف بررسی قابلیت استفاده از نشانگر ISSR برای مطالعات تاکسونومی در سطوح زیر گونه‌ای، تشخیص تفاوت‌ها و پراکنده‌گی‌های ژنتیکی بین اکوتیپ‌های بومی ایران با فنوتیپ‌های متفاوت از نظر رنگ پوست خارجی، تعداد لایه سیرچه‌های تشکیل‌دهنده هر سیر و شکل مقاطع طولی و عرضی آنها و همچنین بررسی وجود اختلاط فیزیکی بین اکوتیپ‌های سیر ایرانی و برخی از سیرهای وارداتی و نیز شناسایی توده‌های تکراری در مجموعه‌های ژرم‌پلاسم ایران صورت پذیرفت.

مواد و روش‌ها

مواد گیاهی

توده سیرهای جمع‌آوری شده جهت مطالعه، مشتمل بر ۴۰ توده بومی بودند که از سراسر کشور جمع‌آوری شدند. بنا به اظهارات فراهم کنندگان، تمامی نمونه‌ها قادر قابلیت تولید ساقه گل دهنده و یا به عبارتی جزو سیرهای نرم ساقه بودند. پس از جمع‌آوری، با توجه به سنتی بودن زراعت سیر و وجود احتمال کشت یک توده محلی در چندین موقعیت جغرافیایی، به منظور به حداقل رساندن وجود توده‌های تکراری، نمونه‌های مورد استفاده جهت ادامه مراحل آزمایشی از بین توده‌های جمع‌آوری شده از مراکز اصلی و با سابقه کشت طولانی مدت سیر گزینش شدند. در نهایت، ۲۶ توده محلی انتخاب (جدول ۱) و از هر توده پنج نمونه مختلف در گلخانه‌های تحقیقاتی دانشگاه فردوسی مشهد کشت شدند.

استخراج DNA

از بین هر یک از توده‌های موجود (جدول ۱)، سه نمونه مختلف به تصادف انتخاب و DNA آنها با استفاده از کیت ^۴ Invtek (آلمان) استخراج شد. به منظور تعیین کیفیت DNAها، غلظت ۷۸ نمونه DNA استخراج شده (26×3) با استفاده از دستگاه NanoDrop^۵ تعیین و همه نمونه‌ها بر اساس رقیق ترین نمونه، هم غلظت و روی ژل آگاراز یک درصد الکتروفورز گردیدند.

تکثیر قطعات DNA

برای این منظور ۲۰ آغازگر ISSR که بر اساس گزارش‌های منتشر شده بیشترین تعداد باند را در نمونه‌های بررسی شده در خانواده Alliaceae یا جنس *Allium* تولید کرده بودند و همچنین آغازگر ژن Protein III^۶ M13، به منظور بررسی روی توده سیرهای ایرانی انتخاب و توسط شرکت Metabion^۷ (آلمان) تولید شدند که مشخصات آنها در جدول ۲ آمده است.

4- Invtek- Germany Cat #1037100200

5- Nano drop- ThermoScientific (USA)

6- Metabion- Germany

2006). نشانگر ISSR در واقع قطعات تکثیر شده DNA هستند که بین دو قطعه متواالی و معکوس از توالی‌های تکراری قرار گرفته‌اند. این نشانگر پس از شناسایی توالی‌های ریز ماهواره‌ای در ژنوم یوکاریوت‌ها توسعه یافت و تاکنون در مطالعات فراوانی به منظور بررسی روابط ژنتیکی بین و درون گونه‌ای مانند شناسایی واریته‌ها، ارقام زراعی و توده‌ها استفاده شده است (Liu & Wendel, 2001; Reddy et al., 2002; Khadari et al., 2003) اولین گزارش‌ها از کاربرد نشانگر ISSR در سال ۱۹۹۴ منتشر شد (Zietkiewicz et al., 1994; Gupta et al., 1994; Gupta et al., 1994) با آزمون آغازگرهای مبتنی بر ISSR روی جمعیت‌ها و شجره‌هایی از انگور (*Vitis* sp.), کاهو (*Lactuca sativa* L.), گوجه فرنگی (*Pinus* sp.), کاج (*Solanum lycopersicum* L.), قزل آلا (*Oncorhynchus mykiss*), ماکیان، گاو هلشتاین و انسان، قابلیت آن در شناسایی و تفکیک افراد جمعیت‌هایی با قربت ژنتیکی زیاد را مورد تأیید قرار دادند. زیستکوچک و همکاران (Zietkiewicz et al., 1994) نیز در بررسی اولیه این نشانگر ضمن دستیابی به الگوهای اختصاصی برای گونه‌های متعدد یوکاریوتی آن را به عنوان یک ابزار نقشه‌یابی با تفرق مندلی معرفی کردند. هرچند که اساس محبوبيت نشانگر ISSR پراکنده‌یکنواخت ریز ماهواره‌ها در سطح ژنوم بوده است، اما جبران نقص نشانگرهای قبلی همچون تکرارپذیری پایین RAPD، زمانیری و هزینه بالای AFLP و نیاز به اطلاعات قبلي به منظور تهیه آغازگر در SSR نیز در توسعه کاربرد آن موثر بوده است (Reddy et al., 2002).

اولین گزارش‌های مریوط به استفاده از فاز M13 به عنوان یک نشانگر نیز به ۲۰ سال قبل باز می‌گردد (Guenouui et al., 2012) و نشانگرهای حاصل از آن در واقع یک توالی ۱۵ نوکلئوتیدی ریز ماهواره‌ای از میان ژن پروتئین III آن فاز^۸ است (Ryskov et al., 1988) که مکمل بسیاری از توالی‌های تکراری پراکنده در ژنوم یوکاریوت‌های پیشرفته است (Ryskov et al., 1988; Upcroft et al., 1990) که ابتدا به صورت کاوشگر در نشانگر RFLP^۹ استفاده شد (Ryskov et al., 1988; Westneat, 1990) اما به دلیل اثبات قابلیت آن در شناسایی تنوع در ژنوم‌های مختلف یوکاریوتی در حال حاضر نیز در نشانگرهای مبتنی بر PCR^{۱۰} به عنوان یک آغازگر عمومی برای شناسایی و توصیف گونه‌ها استفاده می‌شود (Guenouui et al., 2012) که در پژوهش حاضر نیز به عنوان یکی از آغازگرهای محتمل برای شناسایی روابط ژنتیکی سیر زراعی انتخاب و مورد مطالعه قرار گرفته است.

با توجه به عدم وجود گزارشی مبنی بر کاربرد و آزمون نشانگر ISSR روی سیرهای ایرانی، پژوهش حاضر به عنوان اولین مطالعه

1- Protein III Gene of the Bacteriophage M13

2- Restriction Fragment Length Polymorphism

3- Polymerase Chain Reaction

جدول ۱- مشخصات مبداء جمع‌آوری توده‌های سیر استفاده شده در مطالعه مبتنی بر نشانگر مولکولی ISSR

Table 1- Origin specification of garlic clones studied by ISSR molecular marker

Altitude (m)	Coordinate	شهر / منطقه City / region	استان Province	کشور Country
1492	34°27'15"N 48°11'46"E	علی‌آباد Ali-abad	همدان Hamadan	ایران Iran
1723	34° 9' 5N 48° 15' 23E	چنار Chenar	همدان Hamadan	ایران Iran
1712	34°56'50"N 48°17'50"E	گراچنالی Grachnali	همدان Hamadan	ایران Iran
1715	34°55'54"N 48°27'52"E	گنج تپه Ganjtapeh	همدان Hamadan	ایران Iran
1716	34°57'25N 48°26'24E	حسام آباد Hessam-abad	همدان Hamadan	ایران Iran
1731	34°58'29"N 48°28'33"E	لalejin	همدان Hamadan	ایران Iran
1778	34°49'52"N 48°27'33"E	مریانج Marianaj	همدان Hamadan	ایران Iran
1890	34°32'53N 48°26'49E	توبیسرکان Tuyserkan	همدان Hamadan	ایران Iran
1876	34° 47' 46N 48° 30' 57E	همدان Hamadan	همدان Hamadan	ایران Iran
30	31° 21' 19N 48° 45' 2E	اهواز Ahvaz	خوزستان Khozestan	ایران Iran
1650	30°48'46"N 56°33'50"E	زرند Zarand	کرمان Kerman	ایران Iran
1216	31°53'50"N 54°22'04"E	یزد Yazd	یزد Yazd	ایران Iran
667	33°35'45"N 56°55'28"E	طبس Tabas	یزد Yazd	ایران Iran
1590	32° 39' 35N 51° 40' 17E	اصفهان Isfahan	اصفهان Isfahan	ایران Iran
-2	37° 7' 29N 50° 17' 12E	رودس- سرمستان Rudsar-Sarmastān	گیلان Gilan	ایران Iran
54	36° 34' 4N 53° 3' 31E	ساری Sari	مازندران Mazandaran	ایران Iran
977	36°12'45"N 57°40'55"E	سبزوار Sabzevar	خراسان رضوی Khorasan Razavi	ایران Iran
1086	37°28'30"N 57°20'00"E	بجنورد Bojnourd	خراسان شمالی Northern Khorasan	ایران Iran
969	34°34'35N 60°8' 27E	خواف Khvaf	خراسان رضوی Khorasan Razavi	ایران Iran
1522	35°22'33"N 59°02'16"E	تربت حیدریه- بایگ Torbat Heydarieh-Bayg	خراسان رضوی Khorasan Razavi	ایران Iran
1167	33°22'44"N 60°00'20"E	قائنات- زبرکوه Ghaenat- Zirkooh	خراسان جنوبی Southern Khorasan	ایران Iran
4	37°12'26"N 50°00'14"E	لاهیجان Lahijan	گیلان Gilan	ایران Iran
178	36°54'30"N 54°52'08"E	علی‌آباد کتوں Aliabad-e Katul	گلستان Golestan	ایران Iran
--	--	توده تجاری Traditional Colony	توده تجاری Traditional Colony	پاکستان Pakistan
--	--	توده تجاری Traditional Colony	توده تجاری Traditional Colony	چین China

جدول ۲- جزئیات آغازگرهای ISSR و M13 مورد استفاده در بررسی تنوع ژنتیکی اکو-تیپ‌های سیر

Table 2- Sequence and Tm of ISSR and M13 Primers used in Iranian garlic Fingerprinting

نام آغازگر Primer name	توالی (۵' to ۳') Sequence (5' to 3')	دماهی اتصال بهینه شده (درجه سانتی‌گراد) Optimized annealing temperature (°C)
Tn-1	GAACAAACAAACAAACA	47
Tn-2	TVATCTCTCTCTCTCTCTC	47
Tn-3	GAGAGAGAGAGAGAGAYT	39
Tn-4	ACACACACACACACACACYG	43
Tn-5	AGAGAGAGAGAGAGAGYT	43
Tn-6	CACACACACACACACARG	45
U07	AGAGAGAGAGAGAGAGT	45
U08	AGAGAGAGAGAGAGAGC	48
U09	AGAGAGAGAGAGAGAGG	47
U10	GAGAGAGAGAGAGAGAC	44
U11	GAGAGAGAGAGAGAGAT	44
U17	CACACACACACACACAA	42
U25	ACACACACACACACACT	44
U61	ACCACCAACACACACACC	47
U91	TGTGTGTGTGTGTG	41
SPAR	GTGGTGGTGGTGGTG	45
M13	GAGGGTGGCGGTTCT	45
Eg2.2	CGT CGT CGT CGT CT	40
Eg4.3	CACACACACACACG	39
Eg6.3	GAG GAG GAG GC	38
Eg10.6	CTC CTC CTC GC	38

شباهت ژنتیکی نمونه‌ها با استفاده از نرم افزار NTSYSpc³ v2.02 روش SIMQUAL و ضریب تشابه Jaccard محاسبه گردید و رسم دندروگرام با استفاده از روش تجزیه کلاستر UPGMA و الگوریتم SAHN صورت پذیرفت (شکل ۲). با توجه به اینکه ISSR جزو نشانگرهای غالب محسوب می‌شود، میزان اطلاعات چندشکلی PIC = $1-p^2-q^2$ (PIC) هر یک از آغازگرها نیز با استفاده از معادله p و q فراوانی فقدان باند محاسبه گردید که در آن p برابر فراوانی باند و q فراوانی هر یک باند برای هر آغازگر می‌باشد (Haouari & Ferchichi, 2008; Mousavi et al., 2012). در بخش دوم این پژوهش نیز آغازگرهایی را که بیشترین قدرت تفکیک بین توده‌های مختلف ایجاد کرده بودند؛ به منظور تخمین تنوع ژنتیکی درون توده‌ای، روی نمونه‌های هر یک از توده‌ها نیز مورد استفاده قرار گرفتند.

نتایج و بحث

با استفاده از ۲۱ آغازگر بررسی شده (ISSR و M13) روی ۲۶ توده مطالعه در کل بیش از ۵۰۰۰ باند با وضوح مناسب در محدوده ۲۰۰ bp تا ۱۵۰۰ bp تولید شد یعنی به طور متوسط ۹/۱۶ آلل به ازاء هر آغازگر (باند به ازاء هر آغازگر برای هر اکوتیپ) که بسته به نوع آغازگر، در هر نمونه، بین صفر تا ۱۰ باند چندشکل مشاهده گردید. آغازگر M13 همچ باند چندشکلی بین ۲۶ نمونه مورد مطالعه تولید نکرد.

3- Numerical Taxonomy and Multivariate Analysis System

4- Polymorphism Information Content

واکنش‌های زنجیره‌ای پلیمراز (PCR) در حجم ۲۰ µL شامل ۷۵ نانوگرم DNA ژنومی و ۲ mM MgCl₂ و مابقی نسبتها بر اساس استانداردهای مرسوم صورت پذیرفت. برنامه دماهی مورد استفاده به صورت ۱۰ دقیقه ۹۵ درجه ابتدایی و در ادامه ۳۵ چرخه با تکرار ۴۵ ثانیه ۹۵ درجه و اسرشت سازی، ۴۵ ثانیه اتصال آغازگر (از ۳۸ تا ۴۸ درجه سانتی‌گراد بسته به نوع آغازگر) و ۹۰ ثانیه ۷۲ درجه به منظور بسط رشته‌ها و در نهایت یک مرحله ۱۰ دقیقه‌ای ۷۲ درجه به منظور تکمیل بسط رشته‌ها استفاده گردید. سپس ۱۰ µL از محصول PCR روی ۷ لیتر ۰.۵x TBE درصد حاوی ورنگ GreenViwer[®] (با غلظت ۱ میکرولیتر به ازاء هر ۱۰۰ میلی لیتر ۷ لیتر) بارگذاری^۲ و با اختلاف پتانسیل ۱۰۰ ولت (معادل هشت ولت به ازاء هر سانتی‌متر طول ۷ لیتر) الکتروفورز و سپس از ۷ لیتر عکس برداری شد. پس از این مرحله، نتایج حاصل از آغازگرهایی که از توانایی تولید باند با وضوح مناسب و یا باندهای چند شکل برخوردار نبودند، از ادامه روند آزمایش حذف شدند.

جمع‌آوری داده‌ها

تصویر ۷ لیترهای الکتروفورز حاصل از آغازگرهایی که باندهای چند شکل با وضوح مناسب تولید کرده بودند (جدول ۳) با استفاده از نرم افزار 2006 TotalLab TL120 version تحلیل و بر اساس حضور و یا عدم حضور یک باند در هر نمونه به داده‌های ۰ و ۱ و سپس با استفاده از نرم افزار NTedit v1.07c به ماتریس تبدیل شدند.

۱- به عنوان جایگزین اتیدیوم برماید

2- Load

جدول ۳- دامنه اندازه مولکولی آلل‌ها، تعداد آلل‌های تولید شده، درصد و محتوای اطلاعات چندشکلی آغازگرهای منتخب
Table 3- Length range, no and percentage of produced and polymorphic alleles and PIC of the selected Primers

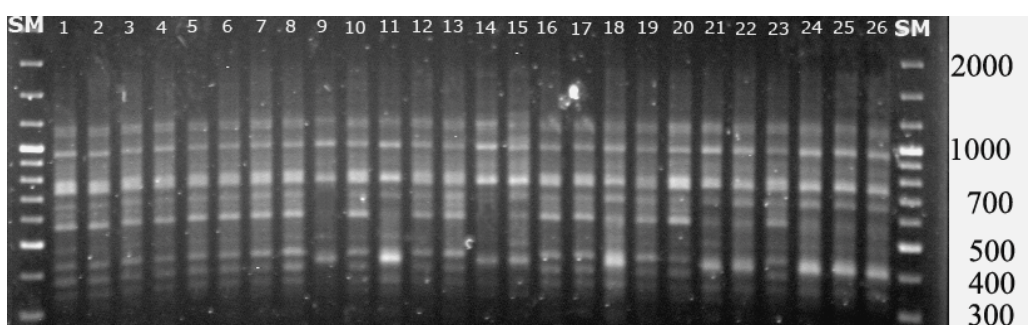
نام آغازگر Primer name	توالی (۳' → ۵') Sequence (5' to 3')	دماهی اتصال (درجه سانتی گراد) Annealing temperature (°C)	تعداد آلل‌ها Number of Allele	تعداد و فراوانی باندهای چند شکل Number and frequency of polymorphic Allele	محتوای اطلاعات چندشکلی Polymorphic Information Content	دامنه اندازه آلل‌های مشاهده شده (جفت نوکلئوتید) Size range of the Alleles (bp)
Tn-3	GAGAGAGAGAGAGAGAYT	39	10	8 (80%)	0.46	400 - 1500
Tn-6	CACACACACACACACARG	45	6	4 (67%)	0.36	200 - 1000
U07	AGAGAGAGAGAGAGAGAT	45	9	4 (44%)	0.36	300 - 1000
U08	AGAGAGAGAGAGAGAGC	48	7	5 (71%)	0.46	400 - 1000
U09	AGAGAGAGAGAGAGAGGG	47	7	6 (60%)	0.48	300 - 900
U10	GAGAGAGAGAGAGAGAC	44	11	9 (81%)	0.48	400 - 1100
U11	GAGAGAGAGAGAGAGAT	44	7	5 (71%)	0.44	300 - 800
U17	CACACACACACACACAA	42	6	4 (66%)	0.39	400 - 800
U25	ACACACACACACACACT	44	7	4 (57%)	0.38	300 - 700
U61	ACCACCAACCACCAACC	47	11	10 (91%)	0.48	400 - 1100
SPAR	GTGGTGTTGGTGGTG	45	6	2 (34%)	0.41	400 - 900
Eg10.6	CTC CTC CTC GC	38	7	4 (57%)	0.28	700 - 1200
بازه تغییرات Intervals			6 - 11	44% - 91%	0.28 - 0.48	200 - 1500
میانگین Mean			7.8	65%	0.42	---

تکراری مکمل با توالی آغازگر در ژنوم سیر باشد. با توجه به اینکه در پژوهش حاضر آغازگرهای U10 و U61 و Tn-3 بیشترین تعداد آلل را تولید کردند (جدول ۳) و بر اساس اینکه تعداد آلل‌های هر مکان ژئی، مناسب بودن آن را برای تخمین تنوع و پراکندگی ژنتیکی یک جمعیت نشان می‌دهد (Haji Karam et al., 2011) مناسب‌ترین نشان آغازگرهای ISSR برای مطالعه سیرهای سیری می‌توان منومنه‌های دارای توالی‌های تکراری شامل G+A و C+C و در سطحی پایین‌تر A+C پیشنهاد کرد. با وجود آنکه تعداد آلل‌های چند شکل به دست آمده در پژوهش حاضر نسبت به مطالعات مبتنی بر SSR (Paredes et al., 2008) و RAPD (Jo et al., 2012) نتایج حاصل از آغازگرها نیز نتایج حاصل از آغازگرهای فاقد باند چند شکل با Tn-1, Tn-2, Tn-4, (Tn-5, U91, M13, Eg2.2, Eg4.3, Eg6.3) نتایج کافی از ادامه بررسی‌ها حذف شدند (Nunes et al., 2009). بدین ترتیب، تنها نتایج حاصل از ۱۲ آغازگر که جزئیات آنها در جدول ۳ آمده است نمره‌دهی^۱ وارد محاسبات شدند. از این ۱۲ آغازگر چند شکل در مجموع ۹۴ آلل به دست آمد. تعداد آلل‌ها برای هر آغازگر بین ۶ تا ۱۱ با میانگین ۷/۸ متغیر بود (جدول ۳). آغازگرهای U10 و U61 با ۱۱ آلل و آغازگرهای U17 و SPAR با شش آلل به ترتیب بیشترین و کمترین آلل را تولید کردند. در شکل ۱ الگوی باندی حاصل از آغازگر U10 به عنوان نمونه آورده شده است.

آغازگرهای مورد استفاده در نهایت، ۶۵ آلل چند شکل در جمعیت مورد مطالعه نشان دادند که میزان چندشکلی آنها بین ۳۴ تا ۶۱ درصد نوسان داشت. آغازگر U61 با ۹۱ درصد بیشترین و آغازگر U07 با ۴۴ درصد کمترین چندشکلی را نشان دادند. تفاوت در فراوانی آلل‌های شناسایی شده می‌تواند به دلیل تفاوت در فراوانی قطعات

2- Stringency

1- Scoring



شکل ۱- الگوی الکتروفوروزی حاصل از آغازگر U10 روی ۲۶ اکوتوپ سیر جمع آوری شده از ایران مورد مطالعه با استفاده از ژل آگارز ۱/۵ درصد (SM = شاخص طولی)

Fig.1 - 1.5% agarose gel electrophoretic pattern of U10 ISSR Primer in 26 garlic ecotypes from Iran (SM= Size Marker)

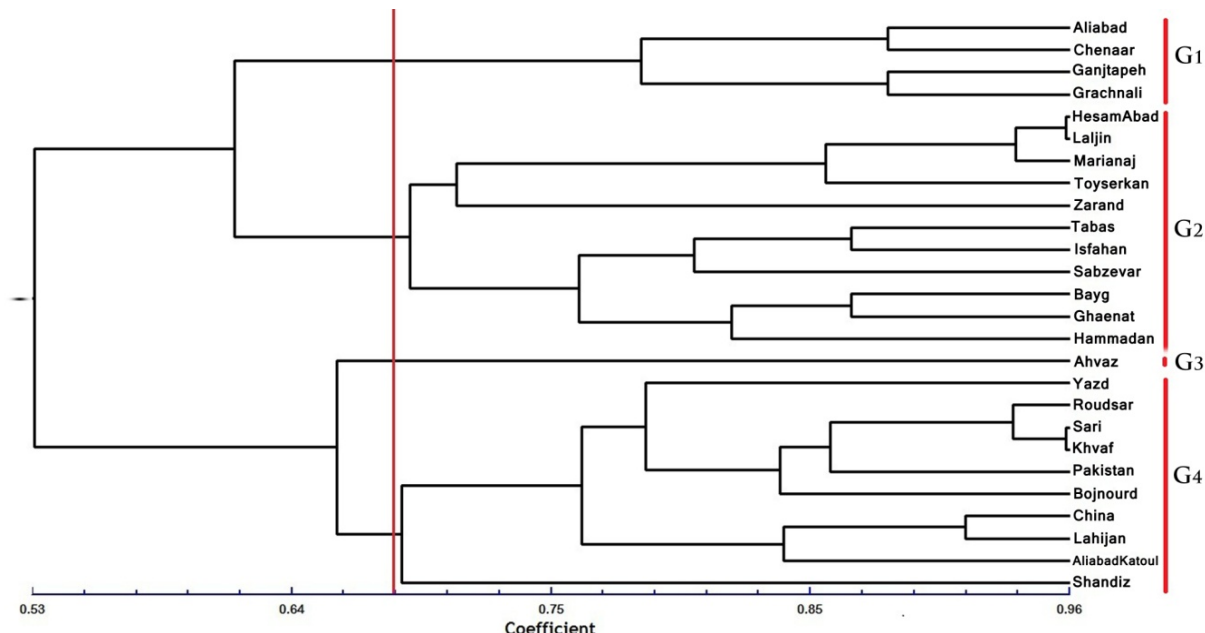
مورد مطالعه در پژوهش حاضر، در ۲۴ گروه مختلف طبقه‌بندی شدند (توده‌های حسام‌آباد و ساری به ترتیب با توده‌های لالجین و خوافر در یک گروه قرار گرفتند)، بطوریکه می‌توان مدعی شد که نشانگر ISSR و آغازگرهای انتخاب و طراحی شده برای این بررسی، توانسته‌اند اکوتوپ‌های مختلف، حتی توده‌هایی با منشاء جغرافیایی بسیار نزدیک به هم را از هم تفکیک نماید، نتیجه‌هایی که در پژوهش‌های مشابه اشاره‌ای به آن نشده است (Ipek et al., 2007; Paredes et al., 2008; Jo et al., 2012).

با وجود آنکه همانند بسیاری از مطالعات مشابه نمی‌توان با اطمینان زیاد، الگوی باندی مشخصی را به عنوان شناسه هر اکوتوپ در نظر گرفت، اما همانطور که در دندروگرام (شکل ۲) مشاهده می‌شود، توده‌های جمع آوری شده از مناطق بوم شناختی مجاور در فاصله کمتری از هم نیز قرار گرفته‌اند. تمامی توده‌های جمع آوری شده از استان همدان در خوشه‌های مجاور قرار گرفتند و تنها توده متمایز از آنها نمونه جمع آوری شده از شهر همدان است که در خوشه‌ی مجاور نموه‌های جنوب خراسان رضوی (تریت حیدریه-بایگ) و خراسان جنوبی (قاتله- زیرکوه) قرار گرفت. در مقابل پراکنده‌ترین نمونه‌ها مربوط به توده‌های جمع آوری شده از خراسان رضوی (شاندیز، خواف، بایگ) بودند، به طوریکه توده شاندیز آن با تفاوت زیاد از بقیه نمونه‌ها در شاخه‌ای مجزا قرار گرفت. نمونه زرنده کرمان نیز به خوشه نمونه‌های غرب و جنوب غرب همدان تزدیکتر بود. متفاوت‌ترین توده از بین نمونه‌های مورد بررسی سیرهای جمع آوری شده از اهواز بودند که در یک شاخه مجزا قرار گرفتند و بر اساس فنوتیپ بسیار متفاوت آن (از نظر مقطع طولی و رنگ پوست خارجی-داده‌ها نشان داده نشده است) نیز قابل انتظار بود.

در صورت در نظر گرفتن خط مرجعی در سطح تشابه ۰/۶۹ دندروگرام، چهار خوشه متفاوت به دست می‌آید بطوریکه پراکنده‌ی جغرافیایی نمونه‌ها را در چهار گروه قرار می‌دهد (شکل‌های ۲ و ۳).

علاوه بر تعداد آلل‌های شناسایی شده و درصد آلل‌های چند شکل، میزان اطلاعات چندشکلی (PIC) هر آغازگر نیز محاسبه گردید که نتایج آن در جدول ۳ آمده است. PIC که در واقع بیانگر ارزش یک نشانگر برای تشخیص چندشکلی در یک جمعیت می‌باشد، بر اساس تعداد آلل‌های شناسایی شده و نحوه پراکنش آنها در جمعیت محاسبه می‌گردد و در حال حاضر به عنوان پرکاربرد ترین آماره ارزشیابی نشانگرها شناخته می‌شود (Nagy et al., 2012). میانگین PIC آغازگرهای مورد آزمون در این پژوهش ۰/۴۲ بود که با توجه به اینکه حداکثر PIC در نشانگرهای غالب ۰/۵ است (Nagy et al., 2012) نشانه‌ای بر این است که مجموعه آغازگرهای انتخاب شده پراکنده‌ی مناسبی در ژنوم جمعیت مورد بررسی داشته‌اند. با توجه به PIC هر یک از آغازگرهای که در جدول ۳ نیز آمده است، بیشترین میزان PIC مربوط به آغازگرهای U9، U10 و U61 (۰/۴۸) و کمترین آن (۰/۲۸) مربوط به آغازگر Eg10.6 بود بدین مفهوم که آغازگرهای U9، U10 و U61 با دارا بودن حداکثر پراکنده‌ی آللی بین نمونه‌ها بهتر از سایر آغازگرها فاصله ژنتیکی را معلوم کرده و می‌توانند در مطالعات بعدی به عنوان آغازگرهایی با توان بالای تعیین تنوع مورد بهره‌برداری قرار گیرند.

شباهت ژنتیکی بین توده‌های جغرافیایی (اکوتوپ‌ها) نیز با استفاده از ضریب تشابه Jaccard محاسبه گردید که بر اساس آن بیشترین فاصله ژنتیکی تعیین شده بین توده‌های جمع آوری شده از لالجین (همدان) و علی آباد کتول (گلستان) با ضریب تشابه ۰/۴۳ و بیشترین تشابه ژنتیکی نیز بین توده‌های ساری (مازندران) و خواف (خراسان رضوی) و همچنین بین توده‌های حسام‌آباد و لالجین (همدان) با ضریب تشابه ۰/۹۵۸ مشاهده شد (داده‌ها نشان داده نشده است). گروه‌بندی نمونه‌ها نیز بر اساس ماتریس تشابه به دست آمده و روش UPGMA صورت پذیرفت که دندروگرام حاصل از تجزیه خوشه‌ای آن در شکل ۲ آمده است. بر اساس آن ۲۶ توده جغرافیایی (اکوتوپ)



شکل ۲- دندروگرام و گروههای حاصل از روابط ژنتیکی ۲۶ اکوتیپ سیر جمع آوری شده در ایران با استفاده از نرم افزار NTSYSpc v2.02 بر اساس روش UPGMA و ضریب تشابه Jaccard در سطح ۰/۶۹ روی دادهای حاصل از نشانگر ISSR

Fig. 2 - Dendrogram of genetic relationships among 26 garlic ecotype from Iran according to ISSR marker generated by NTSYSpc v2.02 according to UPGMA cluster analysis and Jaccard's coefficient similarity of 0.69

سیرهای ایران، با گزارش‌های حاصل از مطالعات جاپس و همکاران (Jabbes et al., 2011) در مورد سیرهای تونسی و توده‌های متعدد سیر در شیلی (Paredes et al., 2007) انطباق کامل دارد. همانطور که اشاره شد جهت توسعه زمینه مطالعه حاضر، دو توده تجاری وارداتی (چینی و پاکستانی) نیز مورد مطالعه قرار گرفتند. نمونه چینی و توده لاهیجان با تشابه ۹۱/۶ درصد و نمونه پاکستانی و توده‌های جمع آوری شده از شمال و شرق ایران (رودسرا، ساری و خوفا) با ضرایب تشابه بین ۸۴ تا ۸۸ درصد دریک گروه قرار گرفتند. این همگروهی می‌تواند به دلیل یکسان بودن منشاء این توده‌ها و شناخته شدن آنها با اسمی مختلف در مقصدهای متفاوت بخاطر عدم وجود طبقه‌بندی رسمی بین توده‌های سیر باشد.

همانطور که اشاره شد نمونه‌های مورد مطالعه در این پژوهش از مناطق عده تولید سیر جمع آوری شده بودند که نتایج، وجود تفاوت ژنتیکی معنا داری را در کنار تفاوت‌های فنوتیپی مرسوم در طبقه‌بندی همانند رنگ پوست خارجی (بنفش، سفید، قرمز، کرم-بنفش و سفید-بنفش)، تعداد سیرچه‌ها تشکیل‌دهنده هر سیر و شکل مقاطع طولی و عرضی آنها، اثبات می‌کند. با وجود آنکه نشانگر و آغازگرهای مورد استفاده توده‌های مختلف از هم تفکیک شدند، اما به دلیل فقدان یک طبقه‌بندی معتبر گزارش شده بر اساس صفات مهم فیزیولوژیک، مورفولوژیک یا زراعی، قابلیت تفسیر و بررسی ارتباط بین تفاوت‌های ژنتیکی و فنوتیپی وجود نداشت، اما از طرفی، با توجه به تأیید این مطلب که شرایط محیطی به شدت بر صفات فنوتیپی سیر تأثیرگذار

گروه اول شامل توده‌های جمع آوری شده از شمال و شمال غرب همدان (G₁) شکل‌های ۲ و ۳؛ گروه دوم شامل اکوتیپ‌های پراکنده در غرب و جنوب غرب استان همدان، مناطق مرکزی، شرق و جنوب شرق ایران (G₂) شکل‌های ۲ و ۳؛ گروه سوم توده جمع آوری شده از اهواز (G₃) شکل‌های ۲ و ۳ و گروه چهارم از شمال و شمال شرقی کشور (G₄) شکل‌های ۲ و ۳).

قرارگرفتن نمونه‌های جمع آوری شده از مناطق جغرافیایی مختلف در خوشبتهای یکسان می‌تواند نشانه‌ای از تبادلات فیزیکی بین مناطق جغرافیایی مختلف یا تشابه ژنتیکی بین نمونه‌ها باشد. نمونه قابل توجه آن قرارگیری توده جمع آوری شده از شهر یزد و شهر همدان به ترتیب در گروه چهارم (G₄) و گروه دوم (G₂) است که به دلیل زراعت سنتی تفسیر آن بر اساس تبادلات فیزیکی نسبت به تشابه ژنتیکی توجیه‌پذیری بیشتری دارد.

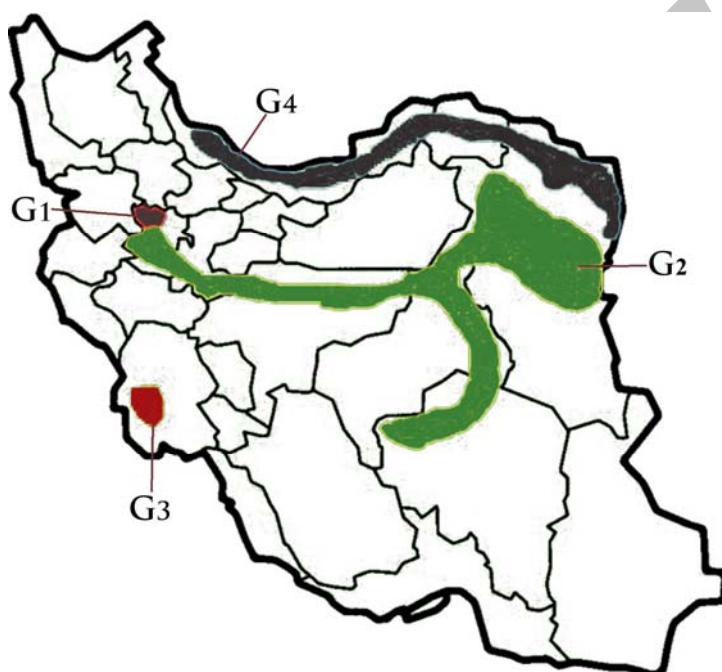
بر اساس نتایج بخش دوم این پژوهش نشان داده شد که تنوع ژنتیکی درون توده‌های مورد مطالعه بسیار کمتر از تنوع بین توده‌ای بود. بطوریکه تنها یک نمونه از بین توده شاندیز به وسیله آغازگر Tun-3 یک باند متفاوت نشان داد. این مشاهده علاوه بر اثبات نبود اختلاط فیزیکی درون توده‌ها به دلیل تکثیر کاملاً غیرجنSSI سیر قابل انتصاف به جهش‌های تصادفی و حفظ آنها به دلیل بی‌اثر بودن بر صفات فنوتیپی مدنظر کشاورزان و یا پایین بودن فشار انتخاب آنها دانست. به همین دلیل توده‌های مورد مطالعه، خالص فرض شده و در ادامه مراحل تفسیری در نظر گرفته نشدند. این نتیجه گیری راجع به

ارتباطات ژنتیکی روی اکوتوپ‌های موجود در ایران است می‌توان با امتداد بررسی‌ها روی جمعیتی بزرگتر، با استفاده آغازگرهای بیشتر با توالی‌های جدید یا مشکل از قطعات تکراری انتخاب شده بر اساس نتایج این بررسی و یا با ترکیب آغازگرهای انتخاب شده به الگوی نشانگری اشباع‌تری دست پیدا کرد و با استفاده از آنها به منظور شناسایی توده‌های تکراری در کلکسیون‌های موجود و با توجه به اهمیت سیر در صنعت، طب سنتی و نوین، اهمیت شناسایی و حفظ تنوع در پژوهش‌های بهترادی و توسعه بهز راعی، وجود ایران در مرکز تنوع سیر و جنس *Allium* خطر جایگزینی سیرهای وارداتی با توده‌های بومی و در نتیجه لزوم تأسیس یک مرکز ملی و بانک ژنتیکی به منظور جمع‌آوری و حفظ توده‌های سیر اقدام نمود.

است؛ به طوریکه تغییر موقعیت جغرافیایی می‌تواند بر باروری، عملکرد و کیفیت محصول آن نیز تأثیر بگذارد (Kamenetsky, 2007) می‌توان از این تنوع ژنتیکی اثبات شده در کنار تنوع اقلیمی کم نظیر موجود در کشور استفاده کرد و با آزمون‌های منطقه‌ای پاسخ‌های فنوتیپی توده‌های بومی در اقلیم‌های مختلف، علاوه بر یافتن بهترین محیط برای هر توده به یافتن صفات خاص از جمله قابلیت باروری و تولید بذر نیز خوش بین بود.

نتیجه‌گیری

در نهایت، با توجه به اینکه پژوهش حاضر اولین گزارش از کاربرد شانگر ISSR و توالی‌های M13 در بررسی تنوع، پراکندگی و



شکل ۳- نحوه پراکندگی اکوتوپ‌های سیر موجود در ایران در چهار گروه حاصل از تقسیم بندهی دندروگرام به دست آمده در سطح تشابه ۰/۶۹
Fig. 3- Distribution of 4 groups of garlic ecotypes from Iran according to dividing dendrogram 2 by a reference line at 0.69 similarity coefficient

منابع

- 1- Camargo, A.B., Resnizky, R., Marchevsky, E.J., and Luco, J.M. 2010. Use of the Argentinean garlic (*Allium sativum* L.) germplasm mineral profile for determining geographic origin. Journal of Food Composition and Analysis 23: 586–591.
- 2- Cunha, C.P., Hoogerheide, E.S.S., Zucchi, M.I., Monteiro, M., and Pinheiro, B. 2012. New Microsatellite Markers for Garlic, *Allium sativum* L. (Alliaceae). American Journal of Botany 99 (1): e17-e19.
- 3- Guenaoui, C., Mang, S., Figliuolo, G., and Neffati, M. 2012. Diversity in *Allium ampeloprasum*: from small and wild to large and cultivated. Genetic Resources and Crop Evolution. Published online 24, March 2012.
- 4- Gupta, M., Chyi, Y.S., Romero-Severson, J., and Owen, J.L. 1994. Amplification of DNA markers from evolutionarily diverse genomes using single primers of simple-sequence repeats. Theoretical and Applied Genetics 89(8,9): 998-1006.
- 5- Haji, K., Naghavi, M.R., Taleii, A.R., and Aghaii, M.J. 2011. Evaluation of genetic diversity of *Aegilops tauschii* from Northern area of Iran using SSR markers. Iranian Journal of Biology 24(3): 390-399.

- 6- Haouari, M., and Ferchichi, A. 2008. Study of genetic polymorphism of *Artemisia herba-alba* from Tunisia using ISSR markers. African Journal of Biotechnology 7(1): 44-50.
- 7- Hashemi, M., Amirinia, S., Harki Nejad, M.T., and Banabazi, M.H. 2012. Evaluation of ancestor of some Holstein cows using florescent Taged microsatellite markers. Iranian Journal of Animal Science Research 4(2): 154-158 (In Persian).
- 8- Ipek, M., Ipek, A., and Simon, P.W. 2008. Molecular characterization of kastamonu garlic: an economically important garlic clone in Turkey. Scientia Horticultureae 115(2): 203-208.
- 9- Jabbes, N., Geoffriau, E., Clerc, V., Dridi, B., and Hannechi, C. 2011. Inter Simple Sequence Repeat Fingerprints for Assess Genetic Diversity of Tunisian Garlic Populations. Journal of Agricultural Science 3(4): 77-85.
- 10- Jo, M.H., Ham, I.K., Moe, K.T., Kwon, S.W., Lu, F.H., Park, Y.J., Kim, W.S., Won, M.K., Kim, T.I., and Lee, E.M. 2012. Classification of genetic variation in garlic (*Allium sativum L.*) using SSR markers. Australian Journal of Crop Science 6(4): 625-631.
- 11- Kamenetsky, R. 2007. Garlic: botany and horticulture. Horticultural Reviews 33: 123-172.
- 12- Khadari, B., Hochu, I., Santoni, S., Oukabli, A., Ater, M., Roger J.P., and Kjellberg, F. 2003. Which molecular markers are best suited to identify fig cultivars: a comparison of RAPD, ISSR and microsatellite markers. Acta Horticulturae 605: 69-75.
- 13- Lampasona, S.G., Asprelli, P., and Burba, J.L. 2012. Genetic analysis of a garlic (*Allium sativum L.*) germplasm collection from Argentina. Scientia Horticultureae 138: 183-189.
- 14- Lampasona, S.G., Martinez, L., and Burba, J.L. 2003. Genetic diversity among selected Argentinean garlic clones (*Allium sativum L.*) using AFLP (Amplified Fragment Length Polymorphism). Euphytica 132: 115–119.
- 15- Liu, B., and Wendel, J.F. 2001. Intersimple sequence repeat (ISSR) polymorphisms as a genetic marker system in cotton. Molecular Ecology Notes 1: 205-208.
- 16- Mousavi, S.R., Ahmadi, J., and Sefidcon, F. 2012. Genetic diversity analysis in Iranian St. John's wort accessions (*Hypericum perforatum L.*) using inter simple sequence repeats markers. Iranian Journal of Rangelands and Forests Plant Breeding and Genetic Research 20(1): 14-24. (In Persian with English Summary)
- 17- Nagy, S., Poczai, P., Cernak, I., Mousapour Gorji, A., Hegedus, and G., Taller, J. 2012. PICcalc: an online program to calculate polymorphic information content for molecular genetic studies. Biochemical Genetics 50: 670–672.
- 18- Paredes, M.C., Viviana B.V., Maria, I., and González, A. 2008. Low genetic diversity among garlic (*Allium sativum L.*) accessions detected using random amplified polymorphic DNA (RAPD). Chilean Journal of Agricultural Research 68(1):3-12.
- 19- Reddy, M.P., Sarla, N., and Siddiq, E.A. 2002. Inter simple sequence repeat (ISSR) polymorphism and its application in plant breeding. Euphytica 128: 9–17.
- 20- Ryskov, A.P., Jincharadze, A.G., Prosnjak, M.I., Ivanov, P.L., and Limborska, S.A. 1988. M₁₃ phage DNA as a universal marker for DNA fingerprinting of animals, plants and microorganisms. FEBS Letters 233(2): 388–392.
- 21- Son, J.H., Park., K.C., Kim, T.W., Park, Y.J., Kang, J.H., and Kim, N.S. 2010. Sequence diversification of 45S rRNA ITS, trnH-psbA spacer, and matK genic regions in several Allium species. Genes and Genomics 32: 165-172.
- 22- Upcroft P., Mitchell, R., and Boreham, P.F.L. 1990. DNA fingerprinting of the intestinal parasite giardia duodenalis with the M13 phage genome. International Journal of Parasitology 20(3): 319-323.
- 23- Westneat, D.F. 1990. Genetic parentage in the indigo bunting: a study using DNA fingerprinting. Behavioral Ecology and Sociobiology 27: 67-76.
- 24- Witono, J.R., and Kondo, K. 2006. Genetic analysis of some species of pinanga (Palmae) by using ISSR markers. Berita Biologi 8: 19- 26.
- 25- Zietkiewicz, E., Rafalski, A., and Labuda, D. 1994. Genome fingerprinting by simple sequence repeat (SSR)-anchored polymerase chain reaction amplification. Genomics 20(2):176-83